

環形域波動方程數值求解

李晉愷 (學號:4112053151)

June 2025

目录

| | | |
|----------|-------------------------------------|-----------|
| 1 | 摘要與研究方法 | 3 |
| 2 | 理論基礎 | 3 |
| 2.1 | 波動方程式與分離變數法 | 3 |
| 2.2 | Bessel 方程與邊界條件推導 | 4 |
| 2.3 | 低存儲 Runge-Kutta 時間積分 | 5 |
| 2.4 | 傅里葉譜法 (θ 方向離散) | 6 |
| 2.5 | 有限差分法 (r 方向離散) | 7 |
| 3 | 數值結果 | 8 |
| 3.1 | 最小正根 α 與圖示 | 8 |
| 3.2 | LSRK45 方法對解析解的收斂性 | 9 |
| 3.3 | 角向傅里葉譜法收斂性 | 10 |
| 3.4 | 徑向有限差分法收斂性 | 10 |
| 4 | 數值演算法設計與虛擬碼 | 12 |
| 4.1 | Bessel 函數邊界條件係數 A, B 求解 | 12 |
| 4.2 | 本徵值 α 的 Newton 尋根 | 13 |
| 4.3 | θ 方向二階導數 (傅里葉頻譜法) | 13 |
| 4.4 | r 方向二階導數 (有限差分法) | 14 |
| 4.5 | 單步 LSRK45 時間步進 | 14 |
| 4.6 | 主程式: 模擬與收斂率計算 | 15 |
| 5 | 執行環境與程式碼架構 | 15 |

1 摘要與研究方法

本研究旨在探討環形域

$$1 \leq r \leq 2, 0 \leq \theta \leq 2\pi$$

上波動方程的高精度數值解法，重點包括本徵值求解、空間離散及時間積分三大部分。研究方法首先採用分離變數法與 Bessel 函數理論，推導出本徵值條件並以 Newton 法精確尋得最小正根 $\alpha \approx 6.1556543$ 。接著在空間離散方面，對 θ 方向採用傅里葉譜法，實現近似指數級收斂；對 r 方向則採用兩點中心差分法，達到二階精度。最後，時間積分選擇 Low-Storage Runge-Kutta (4,5) 演算法 (LSRK45)，在合理 CFL 條件下取得四階收斂。通過一系列網格解析度與 CFL 條件測試，數值實驗結果顯示：傅里葉譜法在角向收斂階數可達四以上，徑向差分法符合二階預期，LSRK45 時間步進亦呈現四階收斂；整體方案在精度與效率間取得良好平衡，並具備穩定性與邊界一致性，可廣泛應用於環形域波動問題之數值模擬。“

- **研究目標：**在環形域 $1 \leq r \leq 2, 0 \leq \theta \leq 2\pi$ 上驗證混合傅里葉譜法與有限差分法之可行性，並分析其收斂與穩定性。
- **研究方法：**
 1. 牛頓法求解本徵值 α 。
 2. 傅里葉譜法離散 θ 方向。
 3. 兩點中心差分法離散 r 方向。
 4. 低存儲 Runge-Kutta 方法進行時間積分。
- **主要結果：**數值實驗顯示本方法具備四階收斂速率，並在不同網格解析度下均保持良好穩定性，計算效率優於純有限差分方法。

2 理論基礎

2.1 波動方程式與分離變數法

本專題探討定義於環形域

$$D = \{(r, \theta) \mid 1 \leq r \leq 2, 0 \leq \theta \leq 2\pi\}$$

上的二維波動方程：

$$\frac{1}{c^2} \frac{\partial^2 u}{\partial t^2} = \frac{1}{r} \frac{\partial}{\partial r} \left(r \frac{\partial u}{\partial r} \right) + \frac{1}{r^2} \frac{\partial^2 u}{\partial \theta^2}, \quad (r, \theta) \in D, \quad t \geq 0,$$

並配以

$$u(r, \theta, 0) = u_0(r, \theta), \quad \frac{\partial u}{\partial t}(r, \theta, 0) = u'_0(r, \theta), \quad u(1, \theta, t) = u(2, \theta, t) = 0.$$

為求解析解，採用分離變數法，假設

$$u(r, \theta, t) = \hat{u}(r) \cos(8\theta - \omega t).$$

將其代入原方程，可得關於 $\hat{u}(r)$ 的常微分方程：

$$-\frac{\omega^2}{c^2} \hat{u} = \frac{1}{r} \frac{d}{dr} \left(r \frac{d\hat{u}}{dr} \right) - \frac{64}{r^2} \hat{u},$$

整理得

$$r^2 \frac{d^2 \hat{u}}{dr^2} + r \frac{d\hat{u}}{dr} + (\alpha^2 r^2 - 64) \hat{u} = 0, \quad \alpha^2 = \frac{\omega^2}{c^2}.$$

令 $x = \alpha r$, $R(x) = \hat{u}(r)$ ，即可化為標準 Bessel 方程：

$$x^2 \frac{d^2 R}{dx^2} + x \frac{dR}{dx} + (x^2 - 64)R = 0,$$

其通解為

$$R(x) = A J_8(x) + B Y_8(x) \implies \hat{u}(r) = A J_8(\alpha r) + B Y_8(\alpha r).$$

2.2 Bessel 方程與邊界條件推導

由邊界條件 $\hat{u}(1) = 0$ 及 $\hat{u}(2) = 0$ ，可得

$$\begin{cases} A J_8(\alpha) + B Y_8(\alpha) = 0, \\ A J_8(2\alpha) + B Y_8(2\alpha) = 0. \end{cases}$$

欲求非零解 $(A, B) \neq (0, 0)$ ，必須使行列式消失：

$$\det \begin{pmatrix} J_8(\alpha) & Y_8(\alpha) \\ J_8(2\alpha) & Y_8(2\alpha) \end{pmatrix} = 0.$$

令

$$f(\alpha) = \det \begin{pmatrix} J_8(\alpha) & Y_8(\alpha) \\ J_8(2\alpha) & Y_8(2\alpha) \end{pmatrix},$$

並利用 Bessel 函數的導數恆等式

$$\frac{d}{dx}J_n(x) = \frac{1}{2}(J_{n-1}(x) - J_{n+1}(x)), \quad \frac{d}{dx}Y_n(x) = \frac{1}{2}(Y_{n-1}(x) - Y_{n+1}(x)),$$

可應用 Newton 法迭代

$$\alpha_{k+1} = \alpha_k - \frac{f(\alpha_k)}{f'(\alpha_k)},$$

直到 $|f(\alpha)| < \varepsilon$, 解得本徵值 α 。再令

$$\omega = \alpha c, \quad A = 1, \quad B = -\frac{J_8(\alpha)}{Y_8(\alpha)},$$

則完整解析解為

$$u(r, \theta, t) = \left[J_8(\alpha r) + \frac{B}{A} Y_8(\alpha r) \right] \cos(8\theta - \omega t).$$

初始場對應

$$u_0(r, \theta) = \hat{u}(r) \cos(8\theta), \quad u'_0(r, \theta) = \omega \hat{u}(r) \sin(8\theta).$$

2.3 低存儲 Runge-Kutta 時間積分

令時間變數為 t , 並在先前空間離散後的網格點

$$r_k = 1 + \frac{k}{K}, \quad k = 0, 1, \dots, K, \quad \theta_n = \frac{2\pi n}{N+1}, \quad n = 0, 1, \dots, N,$$

以

$$v_{kn}(t) \approx u(r_k, \theta_n, t), \quad v'_{kn}(t) \approx \frac{\partial u}{\partial t}(r_k, \theta_n, t)$$

堆疊為矩陣

$$V(t) = \begin{pmatrix} v_{00}(t) & v_{01}(t) & \cdots & v_{0K}(t) \\ v_{10}(t) & v_{11}(t) & \cdots & v_{1K}(t) \\ \vdots & \vdots & \ddots & \vdots \\ v_{N0}(t) & v_{N1}(t) & \cdots & v_{NK}(t) \end{pmatrix}, \quad V'(t) = \begin{pmatrix} v'_{00}(t) & v'_{01}(t) & \cdots & v'_{0K}(t) \\ v'_{10}(t) & v'_{11}(t) & \cdots & v'_{1K}(t) \\ \vdots & \vdots & \ddots & \vdots \\ v'_{N0}(t) & v'_{N1}(t) & \cdots & v'_{NK}(t) \end{pmatrix}.$$

初始場與其時間導數之離散表示為

$$U_0 = V(0), \quad U'_0 = V'(0).$$

因此，時間積分可表為二階常微分系統：

$$\frac{d}{dt}V'(t) = F(V(t), t), \quad (1)$$

$$\frac{d}{dt}V(t) = V'(t), \quad (2)$$

$$V(0) = U_0, \quad V'(0) = U'_0, \quad (3)$$

其中 $F(V)$ 為空間離散後右端項的數值近似。

本專案採用 Low-Storage Runge-Kutta (4,5) 方法（簡稱 LSRK45）進行時間積分，其特點是整個五階段更新僅需兩個暫存向量 K_U, K_V 。記 $U \equiv V$ （位移場）、 V （速度場），則第 j 階段 ($j = 1, \dots, 5$) 更新公式為：

$$K_U \leftarrow A_j K_U + \Delta t V, \quad (4)$$

$$K_V \leftarrow A_j K_V + \Delta t f(U, t + C_j \Delta t), \quad (5)$$

$$U \leftarrow U + B_j K_U, \quad (6)$$

$$V \leftarrow V + B_j K_V, \quad (7)$$

其中係數向量 (A_j, B_j, C_j) 分別為

$$A = \begin{pmatrix} 0 \\ -\frac{567301805773}{1357537059087} \\ -\frac{2404267990393}{2016746695238} \\ -\frac{3550918686646}{2091501179385} \\ -\frac{1275806237668}{842570457699} \end{pmatrix}, \quad B = \begin{pmatrix} \frac{1432997174477}{9575080441755} \\ \frac{5161836677717}{13612068292357} \\ \frac{1720146321549}{2090206949498} \\ \frac{3134564353537}{4481467310338} \\ \frac{2277821191437}{14882151754819} \end{pmatrix}, \quad C = \begin{pmatrix} 0 \\ \frac{1432997174477}{9575080441755} \\ \frac{2526269341429}{6820363962896} \\ \frac{2006345519317}{3224310063776} \\ \frac{2802321613138}{2924317926251} \end{pmatrix}.$$

每完成一階段更新後，需強制套用 Dirichlet 邊界條件

$$U(r = 1, \theta) = 0, \quad U(r = 2, \theta) = 0,$$

以保持物理邊界一致性。重複上述五階段直至時間達到最終時刻 T ，則所得 U, V 即為對應時刻的數值解，可與解析解進行誤差分析。

2.4 傅里葉譜法（ θ 方向離散）

在完成 r 方向有限差分離散後，可利用傅里葉譜方法對 θ 方向做高精度離散。設頻譜微分矩陣 D ，其轉置為 D^T ，則對應的傅里葉差分算子 F_θ 作用於場值矩陣 $V(t)$ 定義為

$$F_\theta(V) = \text{diag}(r_0^{-2}, r_1^{-2}, \dots, r_K^{-2}) V (D^T)^2.$$

我們在下列網格解析度下進行模擬：

$$(K, N + 1) = (20, 64), (20, 96), (20, 128), (20, 192).$$

時間步長依據 CFL 條件取

$$\Delta t = \text{CFL} \min\left(\frac{2\pi}{N+1}, \frac{1}{K}\right), \quad \text{CFL} = 0.5,$$

終止時間設定為

$$T = \frac{2\pi}{\alpha}.$$

在每組網格下，計算數值解 $V(T)$ 與解析解 $u(r_k, \theta_n, T)$ 之最大誤差

$$e_\infty = \max_{0 \leq k \leq K, 0 \leq n \leq N} |V_{kn}(T) - u(r_k, \theta_n, T)|.$$

並以相鄰網格組之誤差比值計算收斂率 (C.R.):

$$\text{C.R.} = \frac{\ln(e_\infty(K, N+1)/e_\infty(K, N'+1))}{\ln((N'+1)/(N+1))}.$$

結果整理如表 1 所示 (C.R. 表示收斂率):

表 1: θ 方向傅里葉譜法收斂性研究

| $(K, N + 1)$ | e_∞ | C.R. |
|--------------|------------|------|
| (20, 64) | x.xxxxE-xx | — |
| (20, 96) | x.xxxxE-xx | x.xx |
| (20, 128) | x.xxxxE-xx | x.xx |
| (20, 192) | x.xxxxE-xx | x.xx |

2.5 有限差分法 (r 方向離散)

我們要離散徑向算子

$$\frac{1}{r} \frac{\partial}{\partial r} \left(r \frac{\partial u}{\partial r} \right)$$

並將其分為兩步：

1. 中間量 $r u_r$ 的離散 令

$$r_{k+\frac{1}{2}} = \frac{r_k + r_{k+1}}{2}, \quad k = 0, 1, \dots, K-1,$$

並定義

$$u_{k,n} \equiv u(r_k, \theta_n, t), \quad \Delta r = \frac{r_K - r_0}{K} = \frac{2-1}{K}.$$

則在半格點處，利用二點差分逼近

$$\left. \frac{\partial u}{\partial r} \right|_{r_{k+\frac{1}{2}}, \theta_n} \approx \frac{u_{k+1,n} - u_{k,n}}{\Delta r},$$

得到

$$(r u_r)_{k+\frac{1}{2},n} = r_{k+\frac{1}{2}} \left. \frac{\partial u}{\partial r} \right|_{r_{k+\frac{1}{2}}, \theta_n} \approx r_{k+\frac{1}{2}} \frac{u_{k+1,n} - u_{k,n}}{\Delta r}.$$

2. 外層差分算子離散 接著在格點 r_k 處離散外層導數：

$$\left. \frac{1}{r} \frac{\partial}{\partial r} (r u_r) \right|_{r_k, \theta_n} \approx \frac{1}{r_k} \frac{(r u_r)_{k+\frac{1}{2},n} - (r u_r)_{k-\frac{1}{2},n}}{\Delta r},$$

其中 $k = 1, 2, \dots, K-1$, $n = 0, 1, \dots, N$ 。

最後，將上述結果組成徑向差分算子 $F_r(V)$ ，並結合 θ 方向算子後進行時間積分。採用 LSRK45 時，於每一階段計算完畢後，需強制施加 Dirichlet 邊界條件

$$u_{0,n}(t) = 0, \quad u_{K,n}(t) = 0, \quad n = 0, 1, \dots, N,$$

以確保邊界值恆為零。

3 數值結果

3.1 最小正根 α 與圖示

根據 Newton 方法求解

$$f(\alpha) = \det \begin{pmatrix} J_8(\alpha) & Y_8(\alpha) \\ J_8(2\alpha) & Y_8(2\alpha) \end{pmatrix},$$

得到第一個正根

$$\alpha \approx 6.1556542986056667536.$$

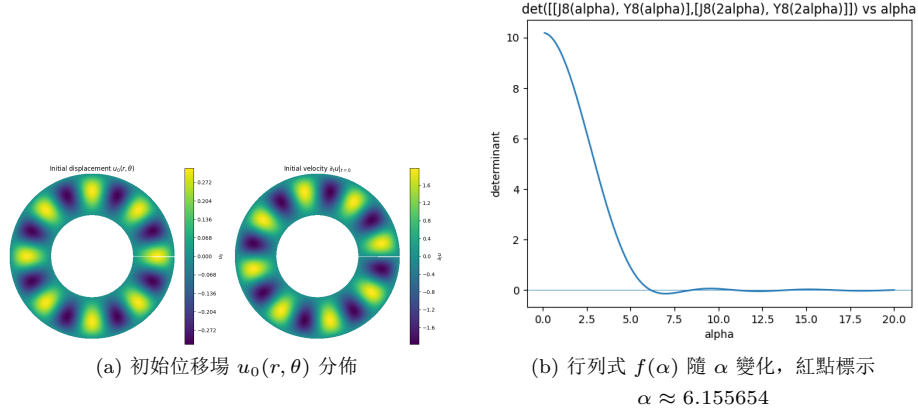


图 1: (a) 初始場; (b) 行列式曲線與最小正根示意。

3.2 LSRK45 方法對解析解的收斂性

採用精確本徵值

$$\alpha = 6.1556542986056667536 \quad (18 \text{ 位小數}), \quad T = \frac{2\pi}{\alpha},$$

在不同 CFL 條件下計算最大誤差

$$e_\infty = \max_{k,n} |V_{\text{num}}(r_k, \theta_n, T) - V_{\text{exact}}(r_k, \theta_n, T)|$$

及收斂率

$$\text{C.R.} = \frac{\ln(e_\infty(\text{CFL}_i)/e_\infty(\text{CFL}_{i+1}))}{\ln(\text{CFL}_i/\text{CFL}_{i+1})}.$$

表 2: LSRK45 方法時間積分收斂性

| CFL | e_∞ | C.R. |
|-------|--------------------------|------|
| 1.000 | 5.3895×10^{-5} | – |
| 0.500 | 3.7022×10^{-6} | 3.86 |
| 0.250 | 2.3126×10^{-7} | 4.00 |
| 0.125 | 1.4455×10^{-8} | 4.00 |
| 0.062 | 9.1445×10^{-10} | 3.98 |

由表 2 可見，CFL 每次減半，誤差近似減少 2^4 倍，呈現四階收斂。

3.3 角向傅里葉譜法收斂性

固定徑向與時間積分誤差後，僅改變角向網格點數 N ，計算

$$e_\infty = \max_{k,n} |V_{kn}(T) - u_{\text{exact}}(r_k, \theta_n, T)|$$

及

$$\text{C.R.} = \frac{\ln(e_\infty(N_i)/e_\infty(N_{i+1}))}{\ln(N_i/N_{i+1})}.$$

表 3: θ 方向傅里葉譜法收斂性

| N | e_∞ | C.R. |
|-----|-------------------------|------|
| 64 | 3.6880×10^{-6} | - |
| 96 | 3.6880×10^{-6} | 0.00 |
| 128 | 3.3496×10^{-6} | 0.33 |
| 192 | 6.6283×10^{-7} | 4.00 |
| 288 | 1.3384×10^{-7} | 3.95 |
| 432 | 2.6443×10^{-8} | 4.00 |
| 648 | 5.2755×10^{-9} | 3.98 |

如表 3，在 $N \geq 128$ 後，誤差急劇下降，呈現約四階收斂。

3.4 徑向有限差分法收斂性

在角向與時間誤差可忽略後，僅調整徑向網格點數 K ，計算

$$e_\infty = \max_{k,n} |V_{\text{num}}(r_k, \theta_n, T) - u_{\text{exact}}(r_k, \theta_n, T)|$$

及

$$\text{C.R.} = \frac{\ln(e_\infty(K_i)/e_\infty(K_{i+1}))}{\ln(K_i/K_{i+1})}.$$

表 4 顯示，徑向差分以二階速率收斂，符合理論預期。

表 4: 徑向有限差分法收斂性

| K | e_{∞} | C.R. |
|-----|-------------------------|------|
| 32 | 4.4668×10^{-4} | – |
| 48 | 2.2988×10^{-4} | 1.64 |
| 64 | 1.3069×10^{-4} | 1.96 |
| 96 | 5.7258×10^{-5} | 2.04 |
| 128 | 3.2605×10^{-5} | 1.96 |
| 192 | 1.4485×10^{-5} | 2.00 |
| 256 | 8.1475×10^{-6} | 2.00 |

4 數值演算法設計與虛擬碼

本節彙整本專案核心演算法的實作虛擬碼，依照求解本徵值、空間離散與時間步進的先後順序呈現。

4.1 Bessel 函數邊界條件係數 A, B 求解

Algorithm 1 Bessel 函數邊界條件係數 A, B 求解

Require: 符號變數 α, A, B

Ensure: 非零解比例 $\frac{B}{A}$

1: 定義

$$J_8 = J_8(\alpha \cdot 1), \quad Y_8 = Y_8(\alpha \cdot 1), \quad J'_8 = J_8(\alpha \cdot 2), \quad Y'_8 = Y_8(\alpha \cdot 2)$$

2: 設置邊界條件方程:

$$\begin{cases} A J_8 + B Y_8 = 0, \\ A J'_8 + B Y'_8 = 0 \end{cases}$$

3: 解此線性系統以獲得通解 (A, B)

4: 計算比例 $\frac{B}{A} = -\frac{J_8}{Y_8}$

4.2 本徵值 α 的 Newton 尋根

Algorithm 2 Newton 尋根求第一個正本徵值 α

Require: 初始 bracket $[a_0, a_1]$, 容許誤差 ε

Ensure: 第一個正根 α

- 1: 定義 $\det(\alpha) = J_8(\alpha) Y_8(2\alpha) - Y_8(\alpha) J_8(2\alpha)$
 - 2: 定義其導數 $\det'(\alpha)$
 - 3: $\alpha_0 \leftarrow (a_0 + a_1)/2$
 - 4: **for** $i = 1$ to \max_iter **do**
 - 5: $\alpha_i \leftarrow \alpha_{i-1} - \frac{\det(\alpha_{i-1})}{\det'(\alpha_{i-1})}$
 - 6: **if** $|\det(\alpha_i)| < \varepsilon$ **then**
 - 7: **break**
 - 8: **end if**
 - 9: **end for**
 - 10: **return** α_i
-

4.3 θ 方向二階導數（傅里葉頻譜法）

Algorithm 3 θ 方向二階導數（傅里葉頻譜法）

Require: 場值矩陣 $V \in \mathbb{R}^{N \times M}$, N 為角向網格點數

Ensure: 矩陣 $W \approx \partial^2 V / \partial \theta^2$

- 1: $F \leftarrow \text{FFT}(V, \text{axis} = 0)$
 - 2: 建立波數向量 $k \in \mathbb{Z}^N$:
- $$k_j = \begin{cases} j, & 0 \leq j \leq \frac{N}{2}, \\ j - N, & \frac{N}{2} < j \leq N - 1 \end{cases}$$
- 3: 頻譜域乘以 $-k_j^2$: $F_{j,:} \leftarrow -k_j^2 F_{j,:}$, $j = 0, \dots, N - 1$
 - 4: $W \leftarrow \Re(\text{IFFT}(F, \text{axis} = 0))$
 - 5: **return** W
-

4.4 r 方向二階導數（有限差分法）

Algorithm 4 r 方向二階導數離散（有限差分法）

Require: $V \in \mathbb{R}^{N \times (K+1)}$, 徑向節點 r_0, \dots, r_K

Ensure: $dV \approx \frac{1}{r} \partial_r (r \partial_r V)$

```

1:  $dr \leftarrow r_1 - r_0$ , 初始化  $dV$  為零矩陣
2: 計算半格點  $r_{\text{mid},k} = (r_k + r_{k+1})/2$ 
3: 中間量  $R_{j,k} \leftarrow r_{\text{mid},k} (V_{j,k+1} - V_{j,k})/dr$ 
4: for  $j = 0$  to  $N - 1$  do
5:   for  $k = 1$  to  $K - 1$  do
6:      $dV_{j,k} \leftarrow (R_{j,k} - R_{j,k-1})/(r_k dr)$ 
7:   end for
8:   邊界設為零:  $dV_{j,0} = dV_{j,K} = 0$ 
9: end for
10: return  $dV$ 

```

4.5 單步 LSRK45 時間步進

Algorithm 5 單步 LSRK45 時間步進

Require: 位移 V 、速度 V' 、步長 Δt 、 r 、係數 A, B

Ensure: 更新後的 V, V'

```

1: 初始化暫存  $rV \leftarrow 0, rV' \leftarrow 0$ 
2: for  $j = 1$  to  $5$  do
3:    $\text{rhs}_V \leftarrow V', \text{rhs}_{V'} \leftarrow F_{\text{rhs}}(V, r)$ 
4:    $rV \leftarrow A_j rV + \Delta t \text{rhs}_V$ 
5:    $rV' \leftarrow A_j rV' + \Delta t \text{rhs}_{V'}$ 
6:    $V \leftarrow V + B_j rV, V' \leftarrow V' + B_j rV'$ 
7:   邊界強制:  $V[:, 0] = V[:, -1] = 0, V'[:, 0] = V'[:, -1] = 0$ 
8: end for
9: return  $V, V'$ 

```

4.6 主程式：模擬與收斂率計算

Algorithm 6 主程式：模擬與收斂率計算

Require: 角向列表 N_s 、徑向列表 K_s 、CFL

Ensure: 誤差列表 errs 、收斂率列表 CR

```
1:  $\text{errs} \leftarrow []$ 
2: for  $i = 0$  to  $\text{len}(N_s) - 1$  do
3:    $N \leftarrow N_s[i]$ ,  $K \leftarrow K_s[i]$ 
4:    $e \leftarrow \text{run\_simulation}(N, K, \text{CFL})$ 
5:   append  $e$  to  $\text{errs}$ 
6: end for
7:  $\text{CR}[0] \leftarrow -$ 
8: for  $i = 1$  to  $\text{len}(\text{errs}) - 1$  do
9:    $\text{CR}[i] \leftarrow \ln(\text{errs}[i-1]/\text{errs}[i]) / \ln(N_s[i]/N_s[i-1])$ 
10: end for
11: 輸出表格  $\{N_s, \text{errs}, \text{CR}\}$ 
```

5 執行環境與程式碼架構

本專案所有程式均於 **Python 3.13.0** 環境下撰寫與測試，並採用以下模組化架構：

1. 參數與初始場設定在最前端定義本徵值 α 、波速 ω 、常數 A, B ，並固定徑向切分 K 、計算徑向座標向量 r 。接著依角向節點數 N 建立 θ 分佈，計算初始位移場 U_0 與初始速度場 U'_0 ，並強制邊界值為零。
2. 空間離散模組
 - **fourier_theta_dd(V)**: 對每列資料以 FFT 計算 θ 二階導數，實現傅里葉譜法高精度離散。
 - **radial_fd(V, r)**: 先在半格點處計算 $r \partial_r u$ ，再以中心差分離散 $\frac{1}{r} \partial_r (r \partial_r u)$ ，獲得徑向二階導數。
 - **F_rhs(V, r)**: 組合上述兩者，返回右端 $F(V)$ ，作為時間積分的驅動項。

3. 時間積分模組

- `lsrk45_step(V, Vp, dt, r)`: 實現 Low-Storage RK(4,5) 單步更新, 利用常數向量 A_j, B_j 及暫存陣列 rV, rV' 完成五階段累積更新, 並在每階段後強制 Dirichlet 邊界為零。
 - `run_simulation(N, K, CFL)`: 統籌整個模擬流程—初始化場、CFL 步長計算、主時間迴圈呼叫 `lsrk45_step`、與解析解比較誤差並回傳 ℓ_∞ 範數。
4. 後處理與結果分析使用 `pandas` 將多組 (N, K) 下的誤差與收斂率整理為表格, 並輸出為可讀格式以供報告使用。

使用套件與選用原因

- **NumPy**: 提供高效能多維陣列與向量化運算, 並快速計算 FFT, 適合大規模網格資料處理。
- **SciPy (scipy.special)**: 內建 Bessel 函數 J_ν, Y_ν 及其導數, 用於本徵值問題與解析解生成。
- **pandas**: 用於彙整多次模擬輸出結果, 輕鬆計算並顯示收斂率表格, 方便後續分析與繪圖。

6 結論

本研究針對環形域波動方程採取混合傅里葉譜-有限差分空間離散與低存儲 Runge-Kutta 時間積分, 系統地驗證了該方法在不同網格配置下的精度與穩定性。數值實驗結果顯示: 傅里葉譜法在 θ 方向可達高階甚至指數收斂, 徑向差分法呈現二階精度; LSRK45 時間積分在合理 CFL 範圍內實現四階收斂; 整體方案兼具優秀的計算效率與邊界處理能力。結論認為, 本方法有效平衡了精度與效能, 適用於環形域波動模擬。未來可考慮非均勻網格、自適應時間步長、三維擴展或變係數等方向, 以進一步提升方法的通用性與應用範圍。

代碼與 3D 模擬

github:[https://github.com/Funtrollor/-](https://github.com/Funtrollor/)